

LANCE

Laboratorio Nacional
de Clima Espacial



Reporte Semanal de Clima Espacial

<https://www.sciesmex.unam.mx/blog/category/reporte-semanal-de-clima-espacial/>



AEM AGENCIA
ESPACIAL
MEXICANA



CENAPRED
CENTRO NACIONAL DE
PREVENCIÓN DE DESASTRES



ISES
International Space
Environment Service

Reporte semanal: 22 al 28 de marzo de 2024

LANC E

Servicio Clima Espacial

CONDICIONES DEL SOL

Regiones activas: 8 distribuidas en el disco solar, 4 de ellas cercanas al centro del disco.

Hoyos coronales: 3, dispersos por el disco solar

Eyecciones de masa coronal: Múltiples no dirigidas a la Tierra.

Fulguraciones: múltiples clase M y dos clase X. La RA 13615 tiene probabilidad alta de presentar actividad.

CONDICIONES DEL MEDIO INTERPLANETARIO

Se registró el tránsito de una región de interacción (EMC+RIC) que provocó una actividad geomagnética e ionosférica moderadas..

La Red de Espectrómetros Callisto de México (REC-Mx) detectó 28 estallidos de radio.

CONDICIONES DE MAGNETÓSFERA

Índice Kp: Se registró una tormenta clase G4 (Kp=8).

Índice Dst: Se registró actividad geomagnética moderada (-100 nT > Dst > -200 nT).

CONDICIONES DE LA IONOSFERA

Se registró una perturbación moderada asociada a la tormenta geomagnética.

CONDICIONES DE RAYOS CÓSMICOS

Se registró un decremento (decaimiento Forbush) provocados por el tránsito de estructuras magnéticas (EMC+RIC) por la órbita terrestre.

Se elaboró un reporte especial del evento ocurrido entre el 23 y 25 de marzo. El reporte se puede encontrar en:

<https://www.sciesmex.unam.mx/blog/reporte-especial-de-clima-espacial-del-24-de-marzo-de-2024/>

Pronóstico

29 de mar. al 4 de abril de 2024



Servicio Clima Espacial

PRONÓSTICOS PARA LA PRÓXIMA SEMANA

Viento solar:

- Se espera viento solar lento estándar en el ambiente espacial terrestre.

Fulguraciones solares:

- Es probable la ocurrencia de fulguraciones clase M o superior. Revisar RA 13615.

Tormentas ionosféricas:

- Podrían presentarse afectaciones ionosféricas no significativas en los próximos días.

Tormentas geomagnéticas:

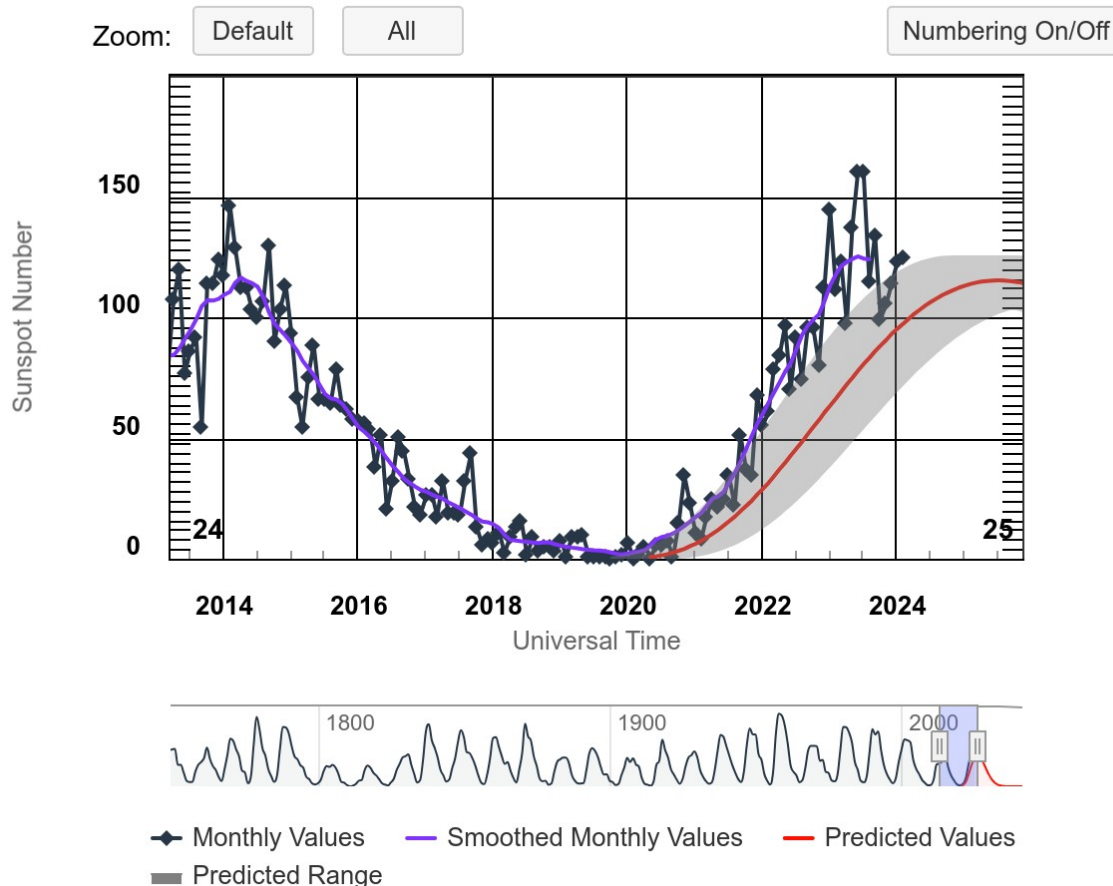
- Es posible la ocurrencia de perturbaciones geomagnéticas durante la próxima semana.

Tormentas de radiación solar:

- No se esperan tormentas de radiación significativas.

Ciclo de manchas solares y la actividad solar

ISES Solar Cycle Sunspot Number Progression



Space Weather Prediction Center

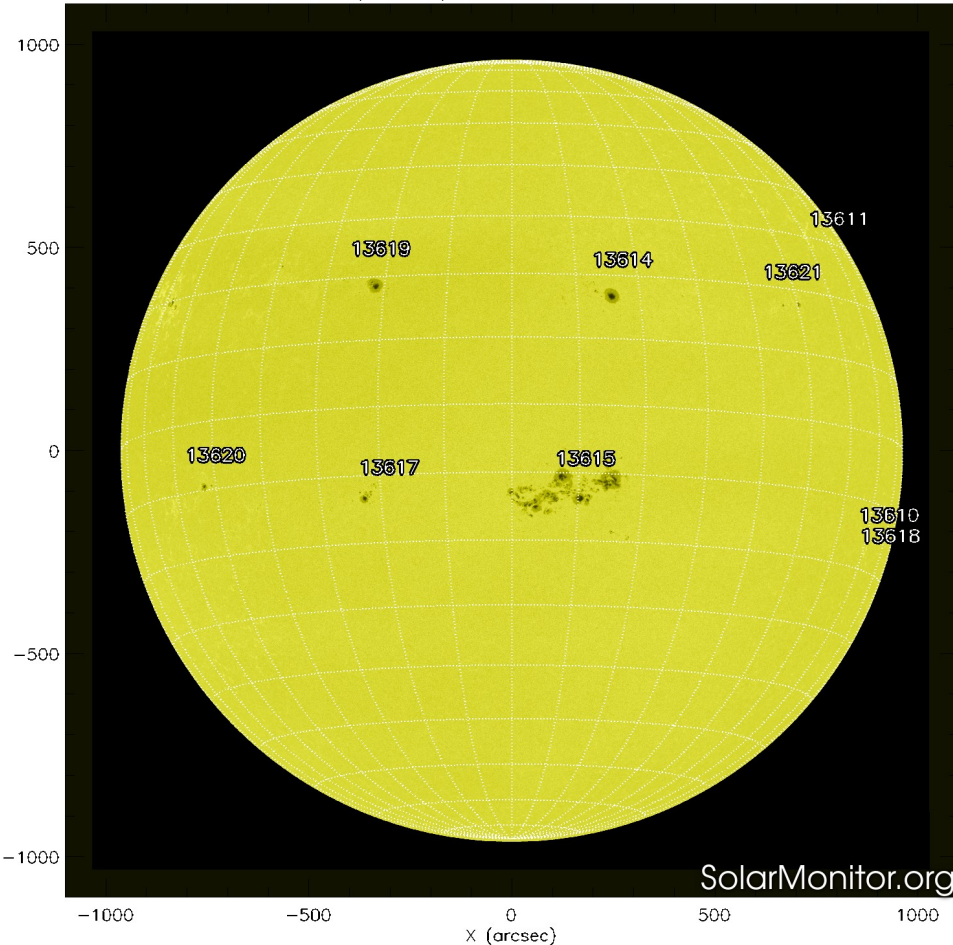
<http://www.swpc.noaa.gov/products/solar-cycle-progression>

La figura muestra el conteo del número de manchas solares desde 2012.

Entre más manchas solares presente el Sol, es mayor la posibilidad de que ocurra una tormenta solar.

Estamos entrando al máximo de actividad del ciclo solar número 25.

SDO HMI (6173 Å) 24-Mar-2024 14:58:36.500

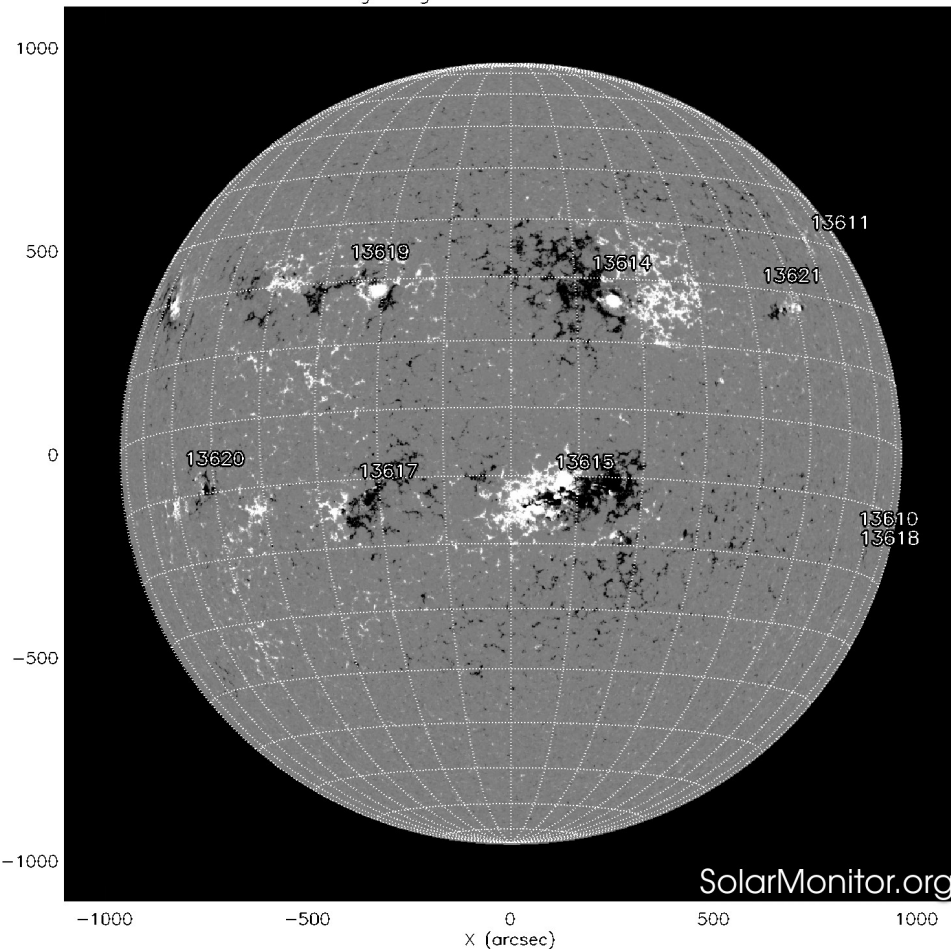


La fotosfera es la zona “superficial” del Sol, donde aparecen las manchas solares. Regiones oscuras formadas por material más frío que sus alrededores y que contienen intensos campos magnéticos. Las manchas solares están relacionadas con la actividad solar.

La imagen reciente de la fotosfera presenta varios grupos de manchas solares distribuidos por el disco solar. Cuatro de ellos están ubicados cerca del centro del disco solar.

<http://solarmonitor.org> y www.helioviewer.org

SDO HMI Magnetogram 24-Mar-2024 15:58:36.500



Un magnetograma solar permite identificar las regiones de intensos campos magnéticos solares. En general, estos campos magnéticos están asociados a manchas solares.

Las regiones de color blanco (negro) son zonas por donde salen (entran) líneas de campo magnético, correspondientes a polaridad positiva (negativa).

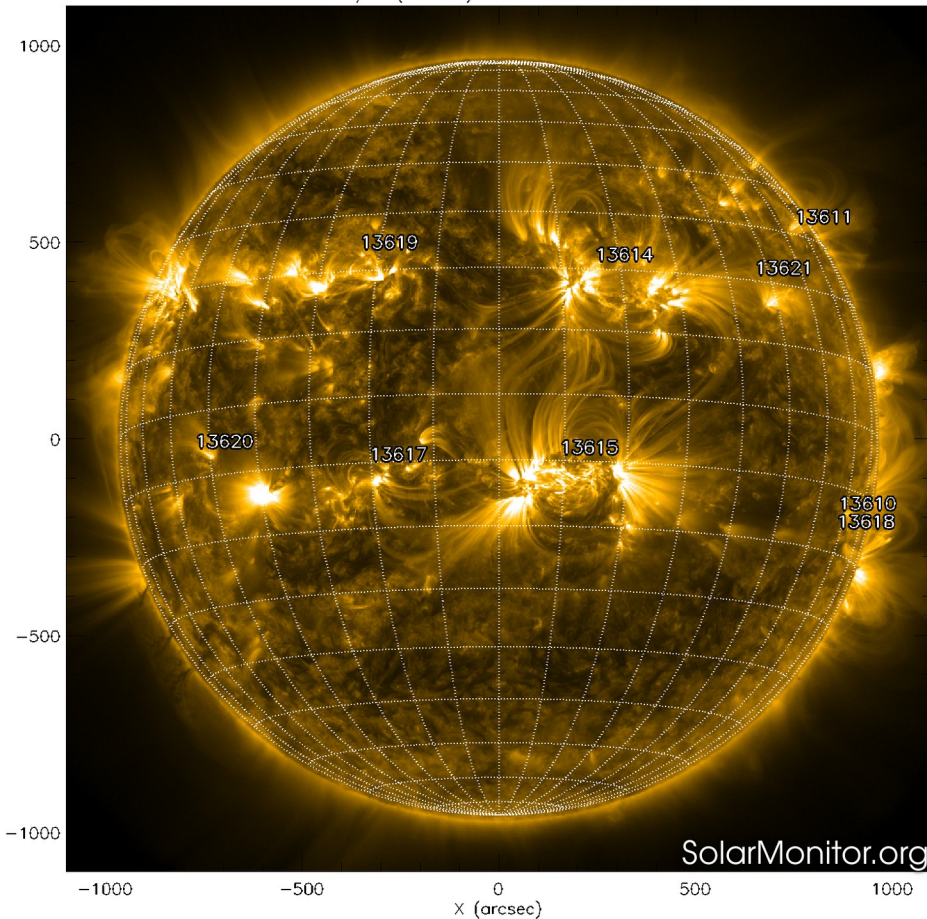
El Sol hoy:

El magnetograma muestra múltiples regiones magnéticas dispersas en el disco solar asociadas a los grupos de manchas solares.

<http://solarmonitor.org> y www.helioviewer.org

Atmósfera solar y regiones activas

SDO AIA Fe IX/X (171 Å) 24-Mar-2024 20:23:45.350



El Sol en rayos X suaves (171 Å). La emisión de Fe IX y X revela la estructura magnética en la región de la atmósfera solar llamada corona solar que se encuentra a 630,000 K.

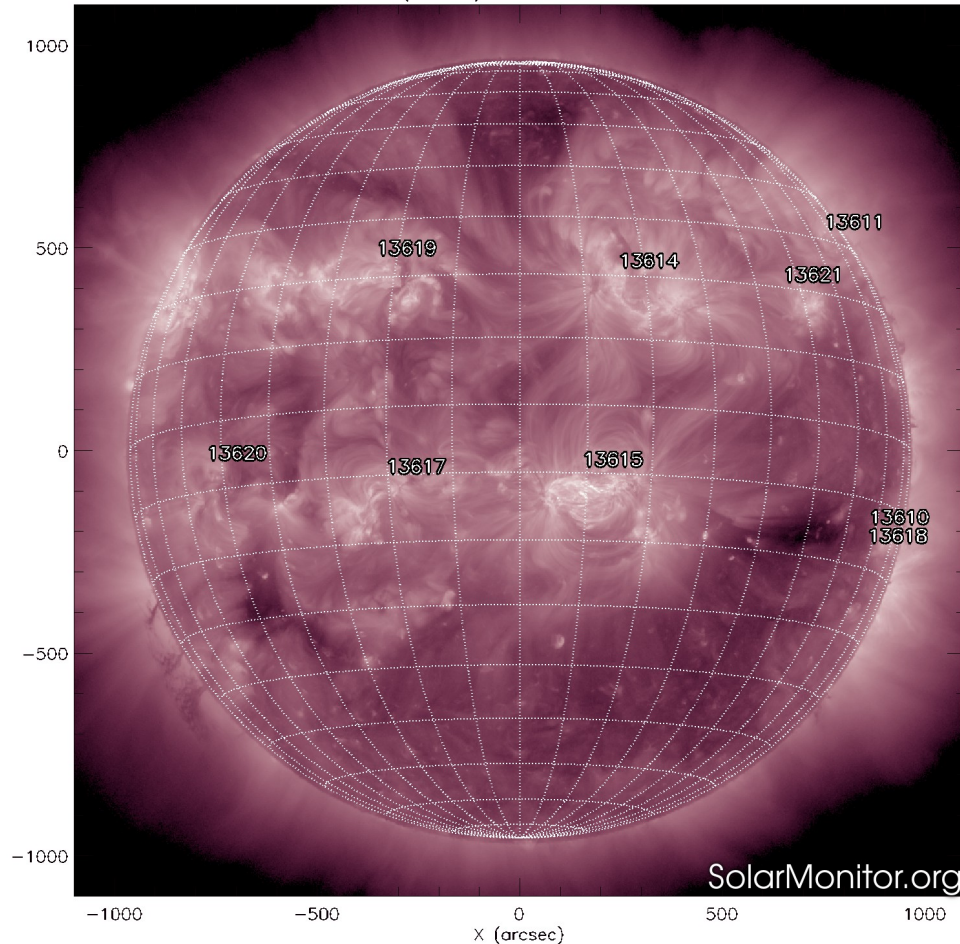
Las regiones activas (zonas claras) son los lugares donde se presentan los fenómenos de actividad solar más importantes. Las regiones activas están regularmente asociadas a las manchas solares.

El Sol hoy:

Se observan las regiones activas asociadas a las manchas solares previamente comentadas.

<http://solarmonitor.org> y www.helioviewer.org

SDO AIA Fe XII (211 Å) 24-Mar-2024 20:24:09.632



El Sol en rayos X suaves. La imagen revela la estructura magnética en la alta corona que se encuentra entre 1,000,000 K y 10,000,000 K.

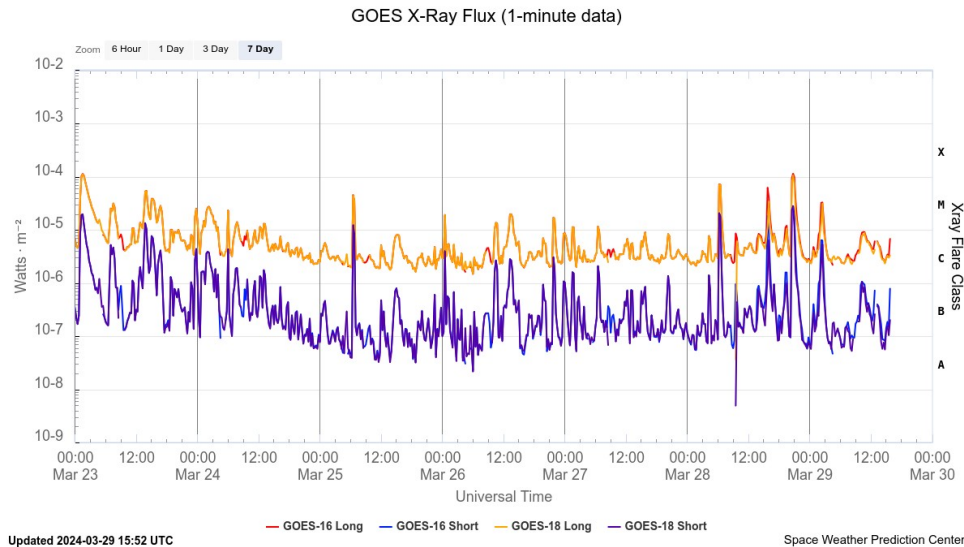
Los hoyos coronales (regiones oscuras) son regiones de campo magnético solar localmente abierto. Los hoyos coronales son fuente de las corrientes de viento solar rápido.

El Sol:

Se observan dos hoyos coronales. Uno de ellos está en la región polar norte, y otros dos en la debajo del ecuador solar.

<http://solarmonitor.org> y www.helioviewer.org

Actividad solar: Fulguraciones solares



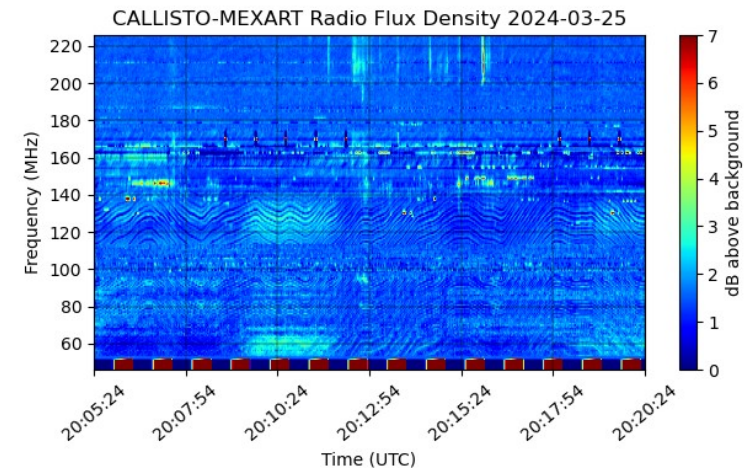
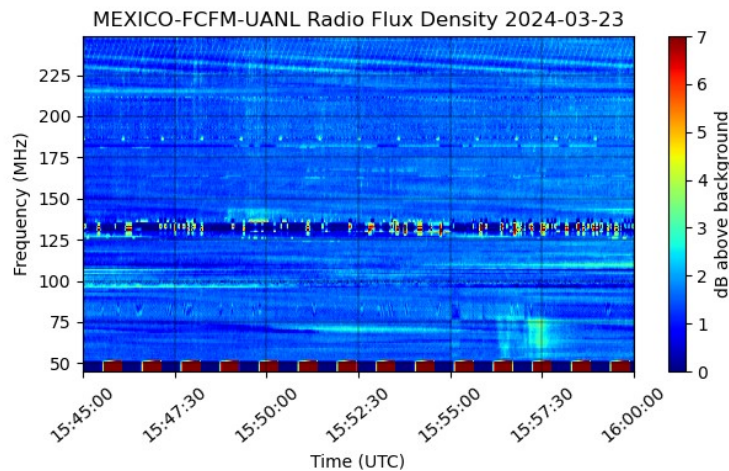
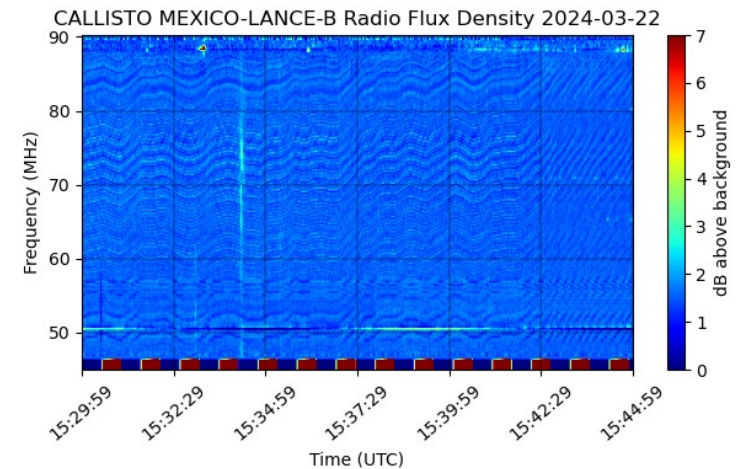
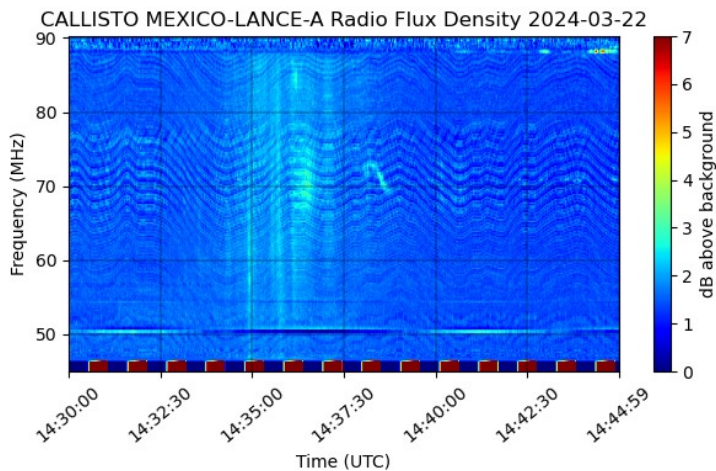
Flujo de rayos X solares detectado por los satélites GOES.

Se registraron 2 fulguraciones solares clase X y múltiples clase M durante la semana.

Imágenes: <http://services.swpc.noaa.gov/>

Red de Espectrómetros Callisto de México (REC-Mx)

En esta semana la Red de Espectrómetros Callisto de México (REC-Mx) detectó 28 estallidos de radio Tipo III, uno Tipo II, dos RBR y uno Tipo V.



Actividad solar: Eyecciones de Masa Coronal

Se registraron 55 EMCs.
5 tipo halo (ancho > 90°).

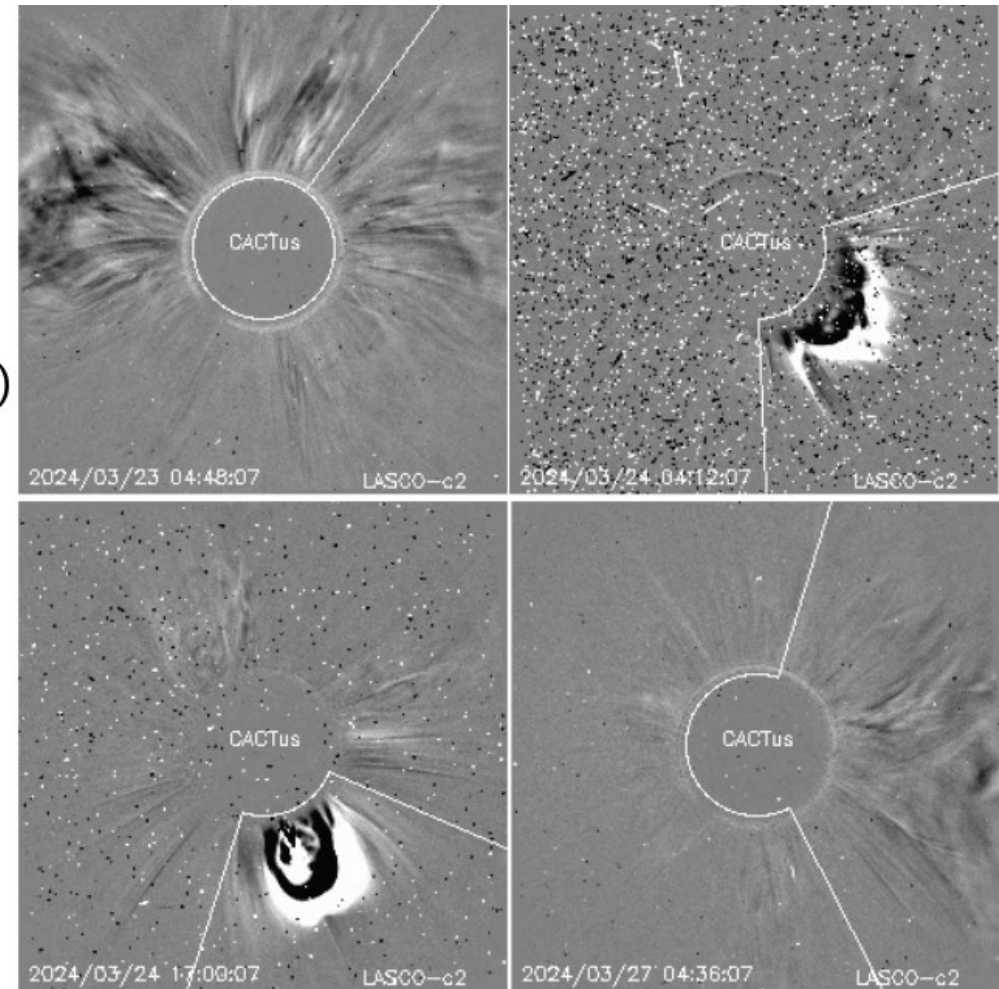
Mediciones de salida de EMC de mayor
dimensión o velocidad de esta semana:

Fecha, tiempo inicial, velocidad promedio (km/s)

2024/03/23	01:36	618
2024/03/24	03:24	331
2024/03/24	15:49	434
2024/03/27	03:12	1136

-Eyecciones observadas por SOHO/LASCO con
cálculos del sitio CACTUS.

Crédito de imágenes y valores estimados:
SOHO, the SOLAR & Heliospheric Observatory
<https://wwwbis.sidc.be/cactus/>



Medio interplanetario

Centelleo interplanetario

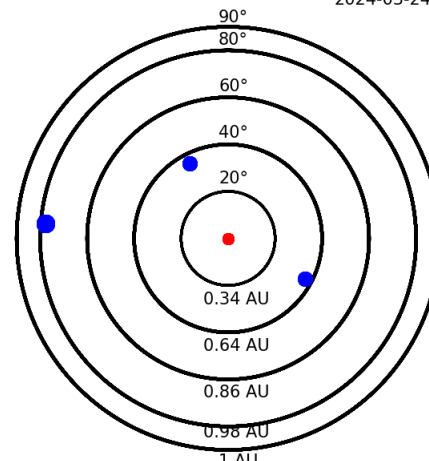
Magnitud de velocidades de viento solar registradas por MEXART.

Se muestra con círculos azules la posición aparente de fuentes de centelleo vistas desde la Tierra, su dimensión representa la rapidez del viento solar. Al centro el Sol (círculo rojo). Los círculos concéntricos marcan la elongación o distancia heliocéntrica en grados o unidades astronómicas.

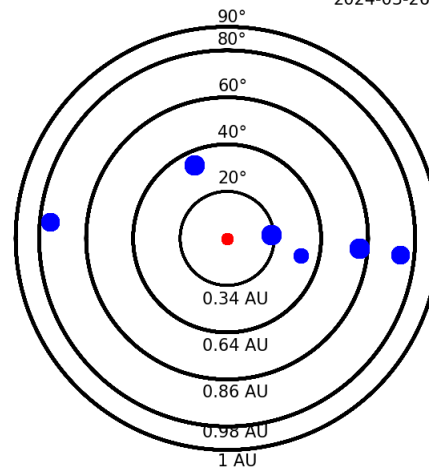
Mapas correspondientes a los últimos días en que se registraron observaciones. Velocidades en su mayoría van de 300 a 700 km/s.

Los velocidad calculada hasta ahora es experimental.

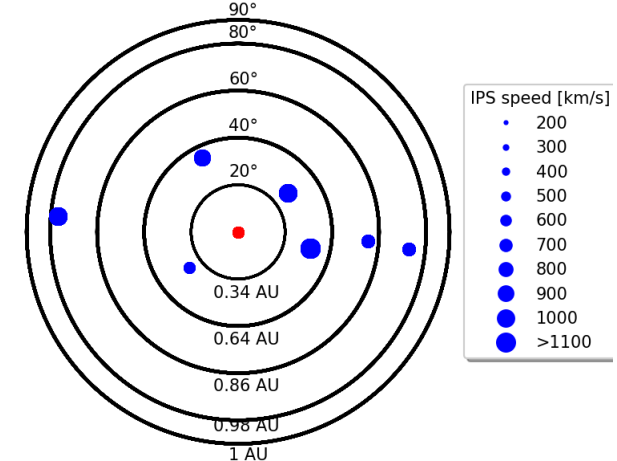
Apparent position of sources in the sky
2024-03-24



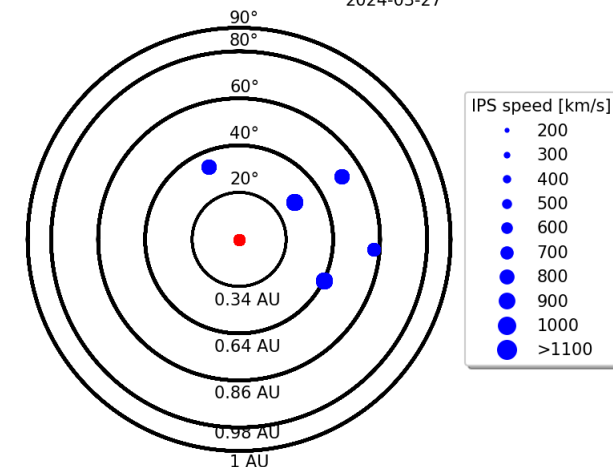
Apparent position of sources in the sky
2024-03-26



Apparent position of sources in the sky
2024-03-25



Apparent position of sources in the sky
2024-03-27



Medio interplanetario

Viento solar cercano a la Tierra

Modelo numérico WSA-ENLIL.

Al día de hoy 28 de marzo de 2024, el modelo pronosticó el arribo de corrientes de viento solar lento con velocidades de aproximadamente 250 km/s. No pronostica alguna EMC para los próximos días.

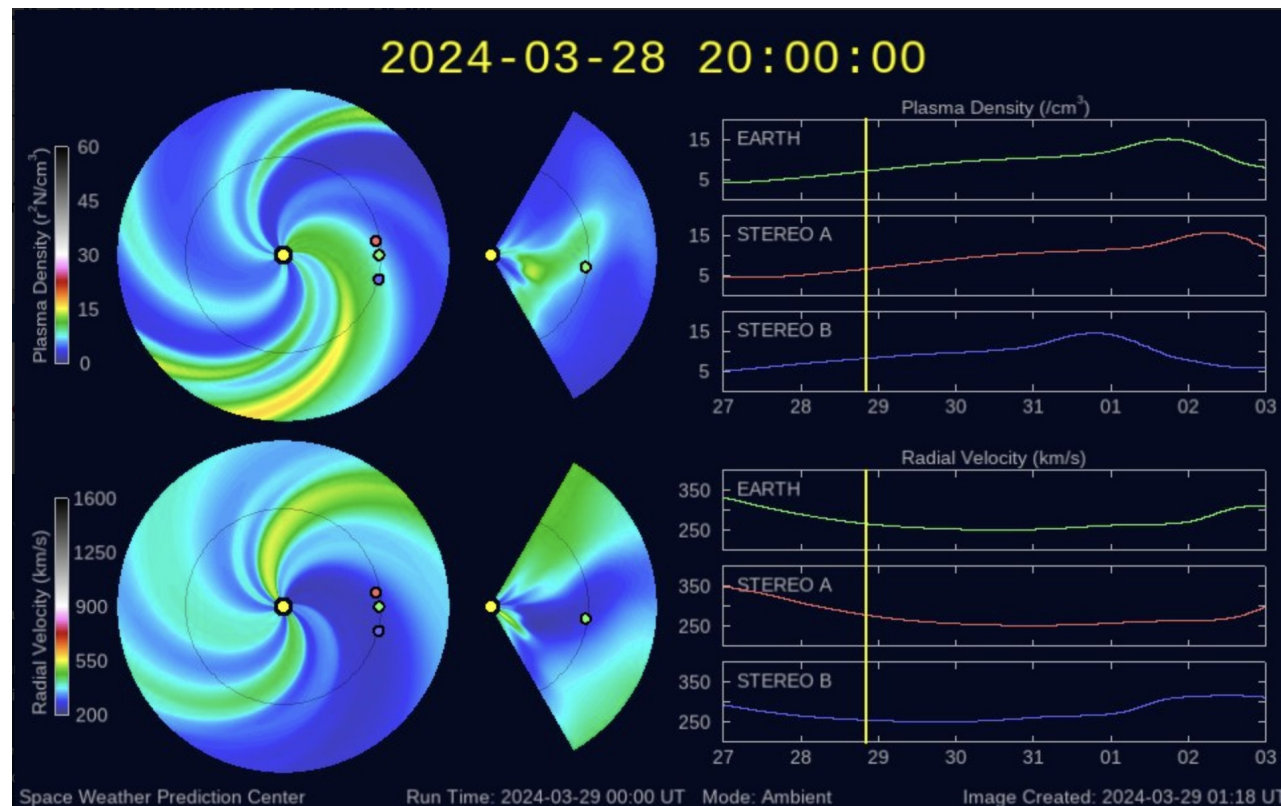


Imagen: <http://www.swpc.noaa.gov/products/wsa-enlil-solar-wind-prediction>

Medio interplanetario

Regiones de interacción

Esta semana se registró una región de interacción (RIC) y una eyección de masa coronal (EMC) (ver región sombreada en gris y amarillo en imagen 2, respectivamente). La EMC se generó después de una fulguración clase X en la región activa AR3614 (ver AR3614 en imagen 1). Ambas estructuras generaron actividad geomagnética: $Kp_1=5$ y $Dst_1=-82$ nT; $Kp_2=8$ y $Dst_2=-130$ nT.

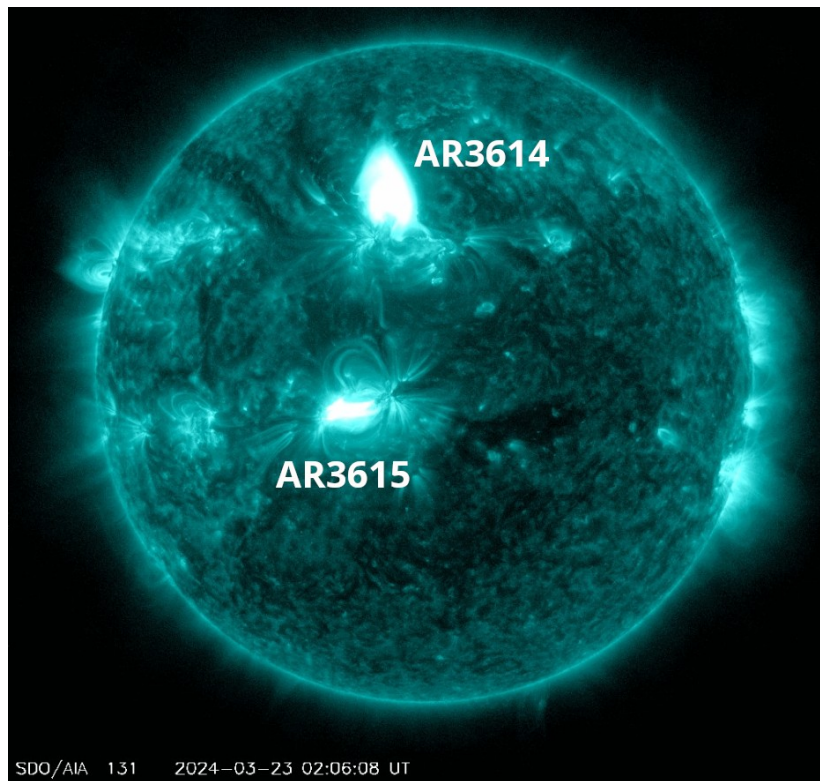


Imagen 1: <https://sdo.gsfc.nasa.gov/>

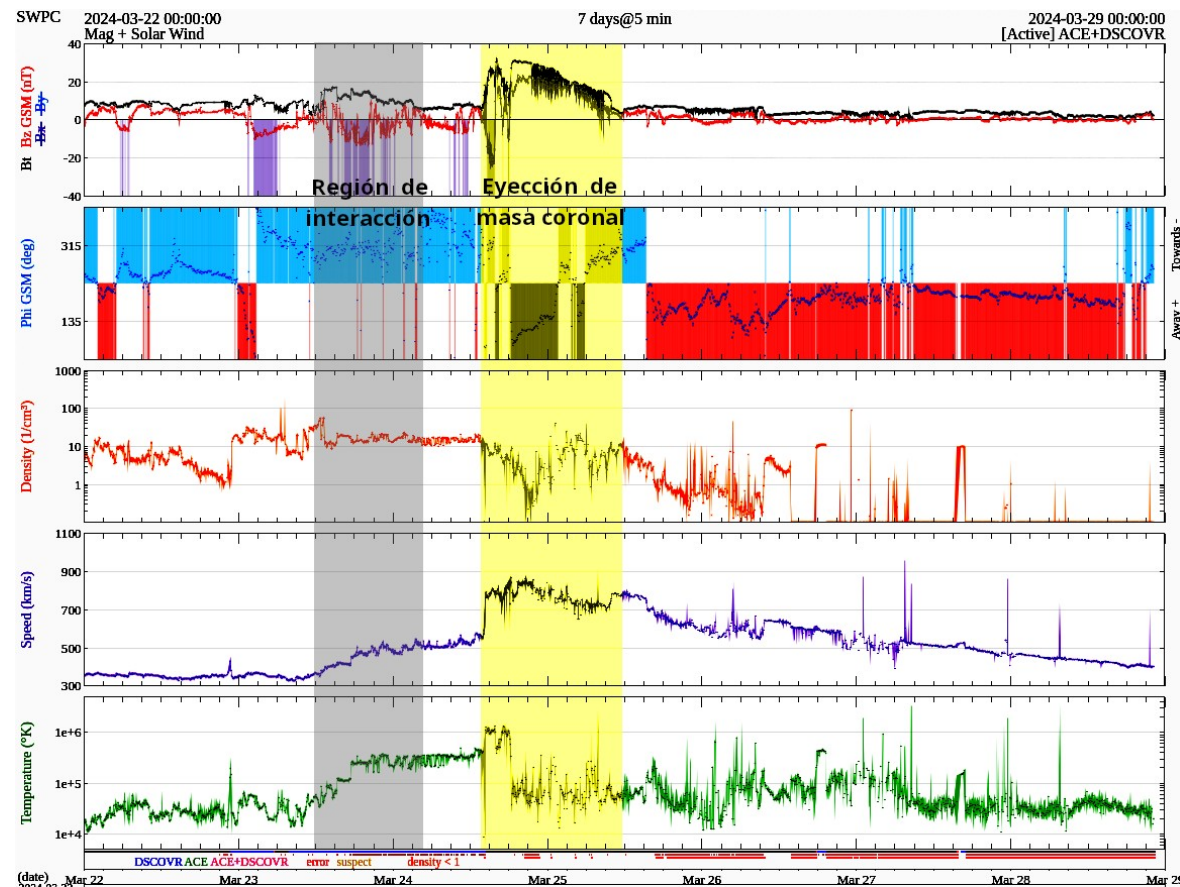


Imagen 2: <http://www.swpc.noaa.gov/products/real-time-solar-wind>

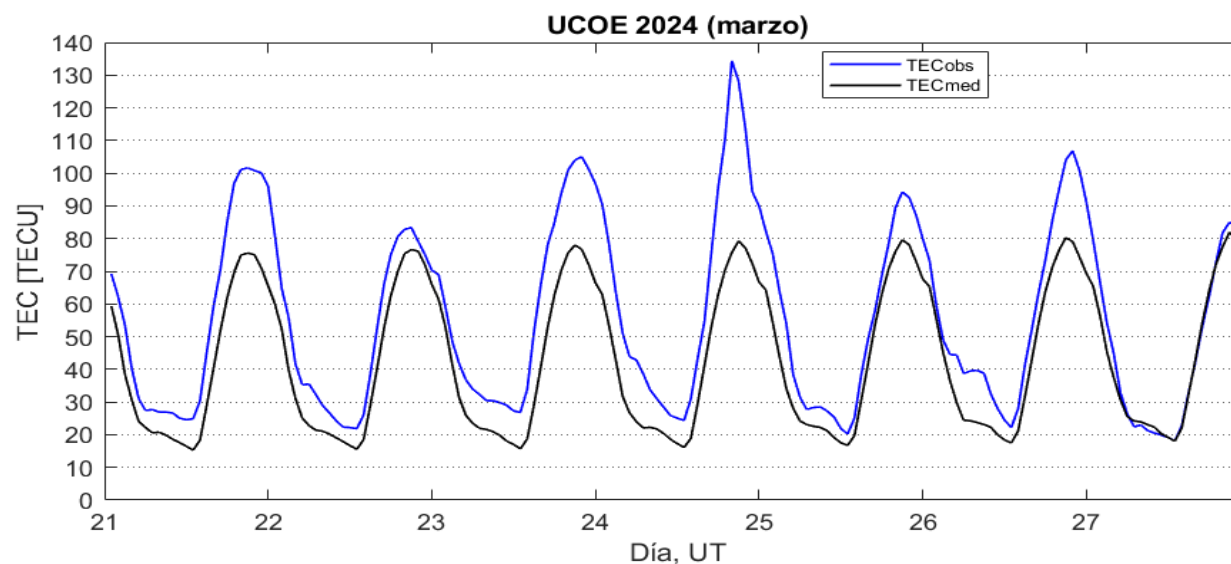
Ionósfera sobre México: TEC en el centro del país

El contenido total de electrones (TEC) es un parámetro que sirve para caracterizar el estado de la ionosfera de la Tierra.

Series temporales de los valores de TEC (TECObs) con referencia a su valor mediano (TECmed) obtenidas de:

(1) Estación local UCOE, receptor ubicado en las instalaciones del MEXART

El cálculo se realiza en base del software "TayAbsTEC" del Instituto de Física Solar-Terrestre, SB RAS. Referencia: Yasyukevich et al., 2015, doi: 10.1134/S001679321506016X.



El 24 de marzo se observó una tormenta ionosférica moderada entre aproximadamente las 13 y 15 horas CDMX. El 28 de marzo se detectó una absorción aumentada de señales de radio sobre México desde aproximadamente las 14:45 horas CDMX.

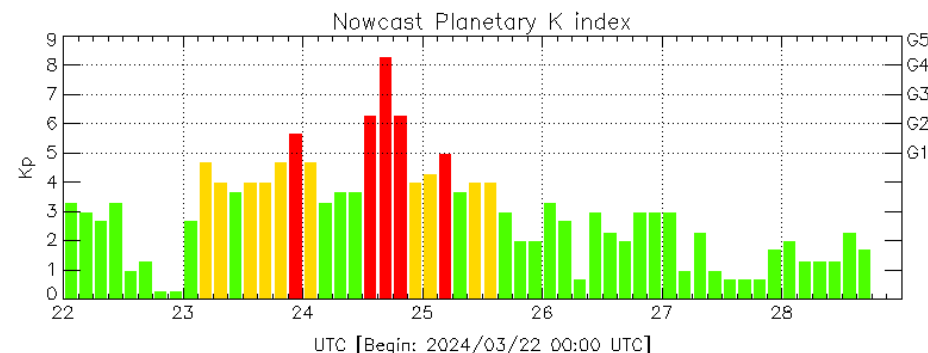
Perturbaciones geomagnéticas: Índices geomagnéticos Kp y Kmex

Se registró una tormenta geomagnética G4 (K=8) en los índices Kp y Kmex entre el 23 y 25 de marzo.

La actividad geomagnética fue provocada por una corriente de viento solar con componente magnética Bz sur intensa pero breve que impactó el ambiente terrestre desde el 23 de marzo y tuvo su máximo el día 24.

NOTA: El cálculo del índice Kmex se realiza usando datos de las estaciones geomagnéticas en Coeneo, Mich, Teoloyucan, Edomex, e Iturbide, NL.

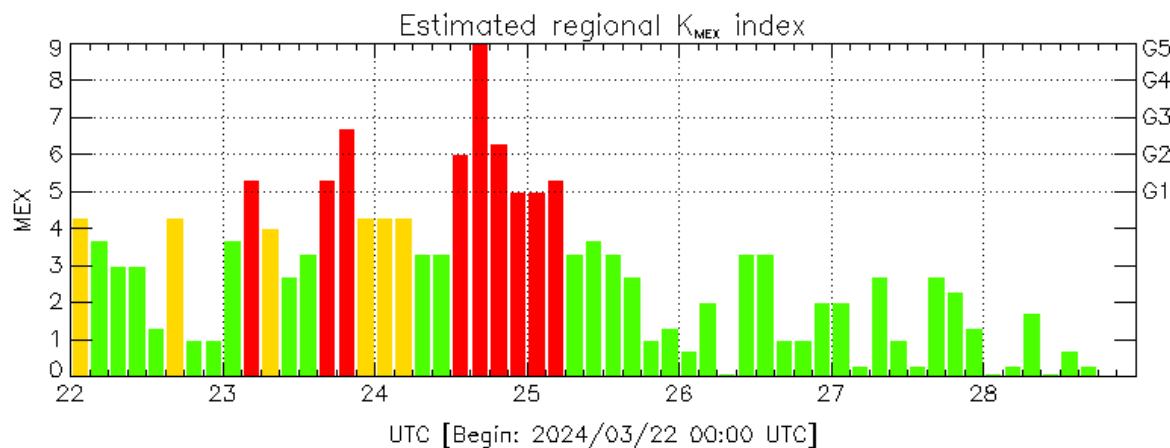
Datps: www.gfz-potsdam.de/en/kp-index/



Color Code: ■ quiet, ■ disturbed, ■ storm, XXXX data not available.

Kp: by GFZ German Research Center for Geosciences
<https://www.gfz-potsdam.de/en/kp-index/>

Updated: 2024/03/28-17:59 UTC



Color Code: ■ quiet, ■ disturbed, ■ storm, XXXX data not available.

MEX: Regional early values of K index for Mexico by
REGMEX/LANCE (<http://regmex.unam.mx>)

Updated: 2024/03/28-17:59 UTC

El índice K indica la intensidad de las variaciones del campo magnético terrestre en intervalos de 3 horas.

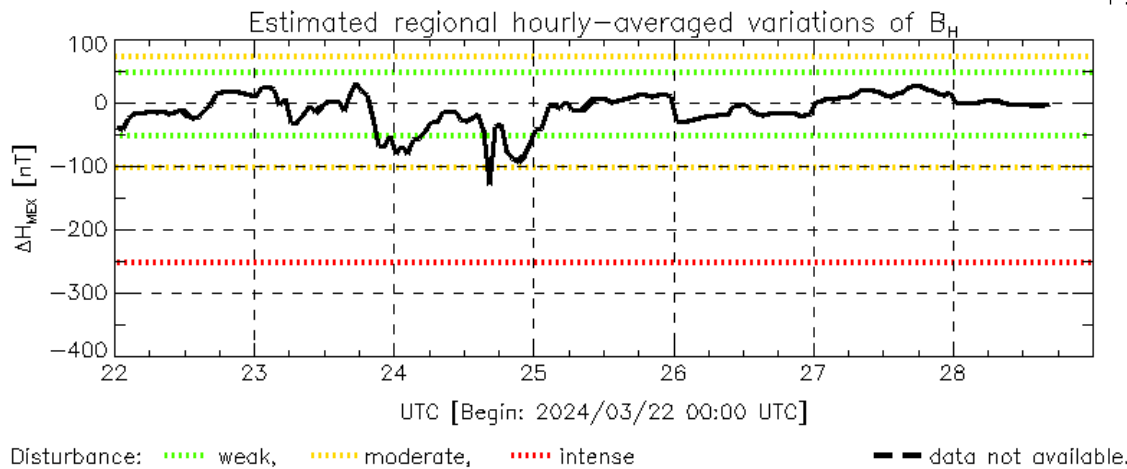
El índice Kp lo expresa a escala planetaria, mientras que el Kmex lo hace para el territorio mexicano.

Perturbaciones geomagnéticas: Índices Dst y ΔH

Se registró actividad geomagnética moderada en los índices geomagnéticos ΔH y Dst, entre el 23 y el 25 de marzo.

La actividad geomagnética fue provocada por corrientes de viento solar con componente magnética B_z sur intermitente que llegaron en el ambiente terrestre desde el 23 de marzo. La perturbación magnética tuvo su máximo la noche del 24 de marzo.

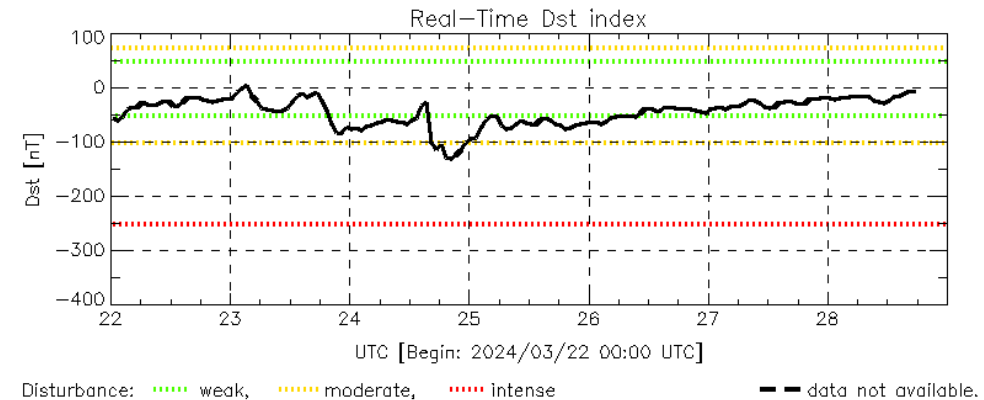
NOTA: El cálculo del índice ΔH se realiza usando datos de las estaciones geomagnéticas en Coeneo, Mich, Teoloyucan, Edomex, e Iturbide, NL.



MEX: Regional early values of ΔH index for Mexico by REGMEX/LANCE (<http://regmex.unam.mx>)

Updated: 2024/03/28-17:59 UTC

Datos: wdc.kugi.kyoto-u.ac.jp/dst_realtime/



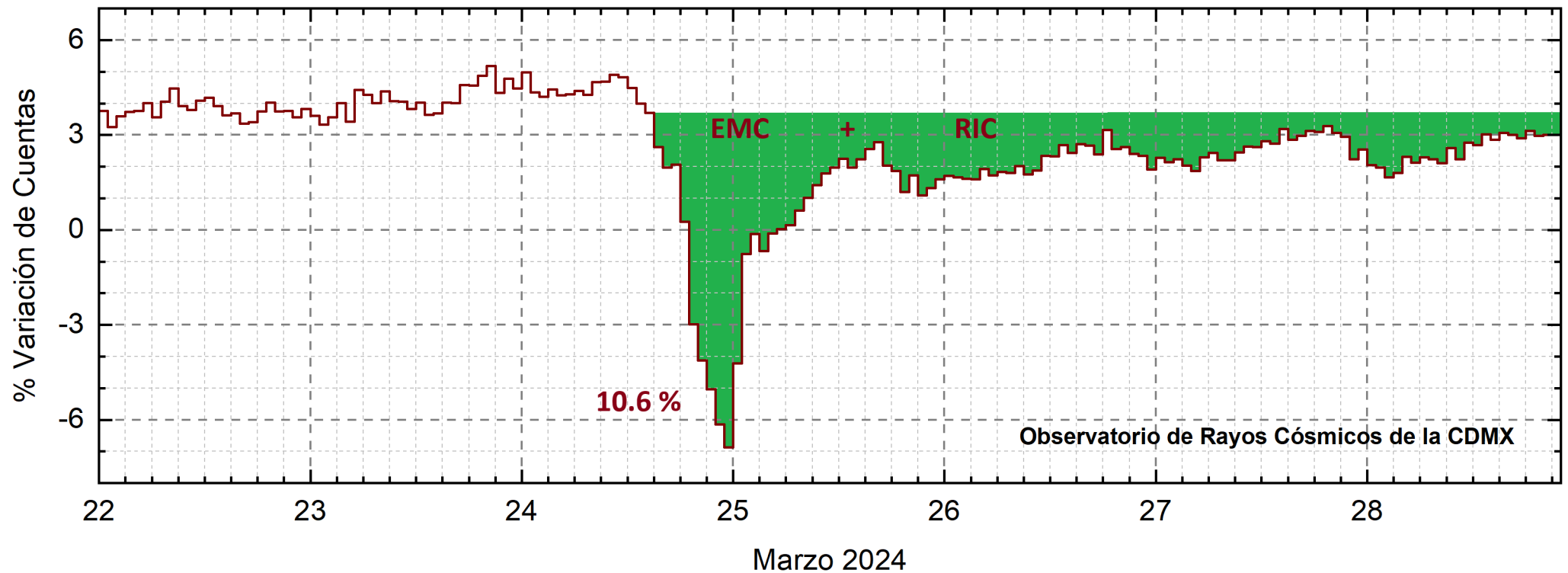
Dst: by World Data Center for Geomagnetism, Kyoto
http://wdc.kugi.kyoto-u.ac.jp/dst_realtime/

Updated: 2024/03/28-17:59 UTC

Los índices Dst y ΔH miden las variaciones temporales de la componente horizontal del campo geomagnético, el primero a escala planetaria y el segundo para México.

Estas variaciones, en general, se deben al ingreso de partículas cargadas, provenientes del espacio exterior, al ambiente espacial terrestre.

Rayos Cósmicos:



<http://www.cosmicrays.unam.mx/>

Datos registrados por el Observatorio de Rayos Cósmicos de la Ciudad de México. Del 22 al 28 de marzo de 2024 se registró el decrecimiento Forbush (dF) más intenso del ciclo solar 25 debido al impacto de una EMC y una RIC, lo que provocó una tormenta geomagnética. El dF inició el 24 a las 15 hrs TU. El área coloreada en verde representa la caída en las cuentas de rayos cósmicos detectadas en la CDMX, que alcanzó 10.6%. A las 22 hrs TU del 28 aún se registra la etapa de afectación y en proceso gradual de recuperación en el flujo de rayos cósmicos.

UNAM/LANCE/SCIESMEX

Dr. J. Américo González Esparza

Dr. Pedro Corona Romero

Dra. Maria Sergeeva

Dr. Julio C. Mejía Ambriz

Dr. Luis Xavier González Méndez

Ing. Ernesto Andrade Mascote

M.C. Pablo Villanueva Hernández

Dr. Ernesto Aguilar-Rodríguez

M.C. Carlos Isaac Castellanos Velazco

Dra. Verónica Ontiveros

Dra. Tania Oyuki Chang Martínez

Dr. Víctor José Gatica Acevedo

Dra. Angela Melgarejo Morales

Isaac David Orrala Legorreta

UNAM ENES-Morelia

Dr. Mario Rodríguez Martínez

Dr. José Juan González Avilés

M.C. Raúl Gutiérrez Zalapa

Ing. Ariana Varela Mendez

Mateo Peralta Mondragón

Jaquelin Mejía Orozco

Grace Diane Jiménez González

UNAM/PCT

Dra. Elsa Sánchez García

Dr. Carlos Arturo Pérez Alanís

M.C. Isaac Castellanos Velasco

UANL/LANCE

Dr. Eduardo Pérez Tijerina

Dra. Esmeralda Romero Hernández

Dr. José Enrique Pérez León

Ing. Iván Antonio Peralta Mendoza

Roel Aramis Olivera López

Fís. Rogelio Aguirre Gutiérrez

M.C. Adolfo Garza Salazar

UNAM/IGF/RAYOS CÓSMICOS

Dr. José Francisco Valdés Galicia

Fis. Alejandro Hurtado Pizano

Ing. Octavio Musalem Clemente

SERVICIO MAGNÉTICO

M.C. Esteban Hernández Quintero

M.C. Gerardo Cifuentes Nava

Dra. Ana Caccavari Garza

GPCEET/SAET-IPN

Ing. Julio César Villagrán Orihuela

Miguel Daniel González Arias

Carlos Escamilla León

Pablo Romero Minchaca

Alfonso Iván Verduzco Torres

Claudia López Martínez

Ana María Ramírez Reyes

Emiliano Campos Castañeda

Elaboración: Pedro Corona Romero

Revisión: Esmeralda Romero Hernández

Agradecimientos

El Laboratorio Nacional de Clima Espacial (LANCE) es parcialmente financiado por: el programa Cátedras CONACYT Proyecto 1045 y el Fondo Sectorial AEM-CONACYT proyecto 2014-01-247722. Agradecemos al proyecto Conacyt – Repositorio Institucional de Clima Espacial 268273. Agradecemos al proyecto AEM-2018-01-A3-S-63804 del Fondo Sectorial CONACYT-AEM. Agradecemos a todos los responsables y colaboradores de instrumentos del LANCE y a las redes de estaciones GPS del Servicio Sismológico Nacional y TlalocNET por facilitar sus datos. Agradecemos a Gerardo Cifuentes, Esteban Hernández y Ana Caccavari por los datos del Observatorio Magnético de Teoloyucan. De igual forma, agradecemos los servicios de IGS (International GNSS Service) por permitirnos usar los datos IONEX disponibles en: <https://cddis.nasa.gov/archive/gnss/products/ionex>. Los valores de TEC fueron obtenidos a partir de observaciones de las redes GPS del Servicio Sismológico Nacional (SSN), SSN-TLALOCNet y TLALOCNet del Servicio de Geodesia Satelital (SGS). Agradecemos al personal del SSN y del SGS por el mantenimiento de estaciones, la adquisición de datos y el soporte de IT de estas redes. Las operaciones de la red TLALOCNet y SSN-TLALOCNet GPS han sido apoyadas por The National Science Foundation bajo el proyecto EAR-1338091 a UNAVCO Inc., los proyectos CONACyT 253760 y 256012 y los proyectos UNAM-PAPIIT IN109315-3 y IN104818-3 de E. Cabral-Cano y el proyecto UNAM-PAPIIT IN111509 de R. Pérez. De igual forma, agradecemos a los proyectos de infraestructura del CONACyT: 253691 y del PAPIIT-DGAPA: IA107116 para el fortalecimiento de equipos como la estación fija de GPS, que forman parte del LACIGE-UNAM, de la ENES unidad Morelia a cargo de M. Rodríguez-Martínez, El cálculo de TEC se realiza: 1) utilizando el software US-TEC que es un producto de operación del Space Weather Prediction Center (SWPC), desarrollado a través de una colaboración entre National Geodetic Survey, National Oceanic and Atmospheric Administration (NOAA) y el Cooperative Institute for Research in Environmental Sciences of the University of Boulder, Colorado, 2) con base en el software TayAbsTEC del Instituto de Física Solar-Terrestre, sección Siberiana de la Academia de Ciencias Rusa. Parte del procesamiento de datos se lleva a cabo dentro del centro de Supercómputo de Clima Espacial (CESCOM) del LANCE. Así mismo agradecemos al Space Weather Forecasting Center for Astrophysics & Space Research de la University of California in San Diego y al Korean Space Weather Center por los datos de pronóstico para los modelos WSA-ENLIL y los mapas tomográficos por IPS. Agradecemos a la red e-callisto por los datos proporcionados de espectros electromagnéticos dinámicos de la red internacional de registro de eventos de radio solares.

Datos

Imágenes de coronógrafo, flujo de rayos X y modelo WSA-ENLIL:

<http://www.swpc.noaa.gov/products>

<http://iswa.ccmc.gsfc.nasa.gov/IswaSystemWebApp/>

Imágenes de coronógrafo:

<http://sohowww.nascom.nasa.gov/data/>

Imágenes del disco solar y de la fulguración:

<http://www.solarmonitor.org/>

Detección y caracterización de EMCs:

<http://www.sidc.oma.be/cactus/out/latestCMEs.html>

<http://spaceweather.gmu.edu/seeds/>

ISES:

<http://www.spaceweather.org/>

International Network of Solar Radio Spectrometers (e-callisto):

<http://www.e-callisto.org/>

German Research Center For Geosciences Postdam:

<http://www.gfz-potsdam.de/en/sektion/erdmagnetfeld/daten-dienst/e/kp-index/>

Data Analysis Center for Geomagnetism and Space Magnetism, Kyoto University:

<http://wdc.kugi.kyoto-u.ac.jp/index.html>

UNAVCO:

<http://www.unavco.org>

SSN:

<http://www.sismologico.unam.mx/>

SOHO Spacecraft NASA:

<http://sohowww.nascom.nasa.gov/>

SDO Spacecraft NASA:

<http://sdo.gsfc.nasa.gov/>

Space Weather Prediction Center NOAA:

<http://www.swpc.noaa.gov>

GOES Spacecraft NOAA:

<http://www.ngdc.noaa.gov/stp/satellite/goes/index.html>

ACE Spacecraft NOAA

<http://www.srl.caltech.edu/ACE/ASC/index.html>